УЛК 532.5:66.047

ТЕПЛОМАССООБМЕН В ПРОЦЕССАХ РАСПЫЛИТЕЛЬНОЙ СУШКИ ПРИ КОНВЕКТИВНО-РАДИАЦИОННОМ ЭНЕРГОПОДВОДЕ

© 2023 г. П. В. Акулич^{а, *}, Д. С. Слижук^а

^а Институт тепло- и массообмена имени А.В. Лыкова НАН, Беларуси, Минск *e-mail: akul@hmti.ac.by
Поступила в редакцию 01.06.2023 г.
После доработки 05.06.2023 г.
Принята к публикации 06.06.2023 г.

Приведены математическая модель, результаты численного моделирования и экспериментальных исследований тепломассообменных процессов и параметров работы опытной распылительной установки для дегидратации концентрированных растворов при конвективно-радиационном энергоподводе. Показана возможность интенсификации тепломассообменных процессов и увеличения влагонапряженности камеры, производительности по испаренной влаге при снижении удельного расхода теплоты за счет воздействия инфракрасного излучения на область факела распыленной жидкости и создания режима встречных вертикальных потоков теплоносителя.

Ключевые слова: распылительная сушка, конвективно-радиационная сушка, тепломассообмен при дегидратации

DOI: 10.31857/S0040357123040012, EDN: VJKWTG

введение

В настоящее время распылительные установки находят широкое применение для сушки большого количества жидких материалов в различных отраслях промышленности. Областью их применения являются производства высококачественных мелкодисперсных, гранулированных, быстрорастворимых, ультрадисперсных (нанодисперсных) материалов. Тем не менее, данные технологии характеризуются высокой энергоемкостью и особенно при обезвоживании высоковлажных и термолабильных материалов [1-5]. При этом распылительные установки имеют низкий съем влаги с единицы объема камеры, прежде всего при невысоких температурах теплоносителя. В связи с этим проблемам повышения их эффективности и разработки новых перспективных технологий и аппаратов в настоящее время уделяется большое внимание [1, 2, 5-8]. Развиваются различные методы повышения эффективности, например, многостадийные технологии обезвоживания (выпаривания и сушки, распылительной сушки и досушивания материала в кипяшем и виброкипящем слоях); совершенствуются способы предварительной подготовки растворов и суспензий, включая подогрев и перегрев термостойких жидкостей; модернизируются системы диспергирования и ввода в факел распыла дисперсной фазы; ведутся поиски активизации гидродинамического режима на основе струйных, закрученных и

сильно нестационарных потоков теплоносителя, генерируемых камерами пульсационного горения. Большое внимание уделяется разработке перспективных технологий и новых материалов методом распыления.

В последнее время находят развитие исследования конвективно-радиационного подвода энергии в процессах распылительной сушки. Так, в работе [9] рассматривается конвективно-радиационный способ сушки распылением, в котором поток излучения создается за счет нагрева стенок камеры или от нагревателя расположенного по оси цилиндрической камеры. Известна конструкция распылительной установки [10], в которой инфракрасные излучатели расположены на боковой поверхности между жалюзи, через которые подается дополнительный поток теплоносителя. В работах [11-13] приведено описание конвективно-радиационного способа распылительной сушки и некоторые результаты его исследования. Сущность способа состоит в комбинированном энерговоздействии на капли распыляемой жидкости конвекцией и инфракрасным (ИК) излучением, фокусируемым на область факела распыла.

С развитием численных методов и программных комплексов для оптимизации процессов и поиска путей повышения их эффективности все шире применяются различные методы моделирования. Они часто основываются на механике сплошных сред, раздельном описании движения

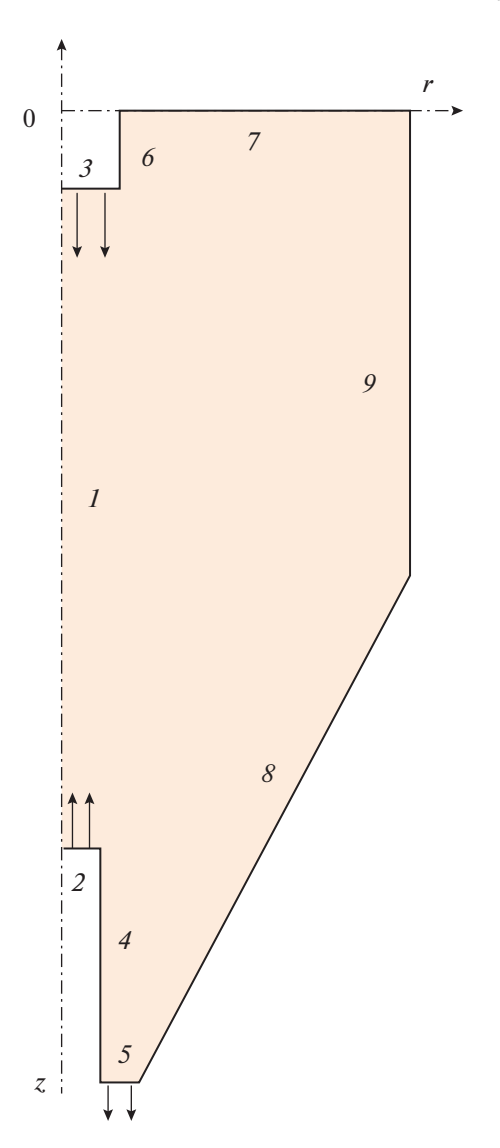


Рис. 1. Схема расчетной области модели.

фаз с учетом тепломассообмена дисперсных частиц, воспроизведении структуры потоков на основе идеализации их смешения. Вместе с тем решение задач, как правило, осложняется влиянием множества факторов и взаимосвязанных процессов. При сушке капель растворов, в частности, происходит образование неоднородной структуры твердой фазы, изменение физико-химических свойств и механизмов переноса [1, 14, 15]. Развиваются исследования тепломассообмена капель в условиях комбинированных энергетических воздействий, в том числе конвективно-радиационных, сильно нестационарных термогидродинамических течений, изучаются закономерности испарения малых капель и циркуляции одно- и многокомпонентных жидкостей внутри капель [16-20].

В работе [21, 22] приведены результаты исследования характеристик испарения одиночной не-

подвижной капли в условиях лучистого и конвективного нагрева.

Эффекты микровзрывной фрагментации капель жидкостей с многокомпонентным составом в условиях интенсивного нагрева установлены достаточно давно, но их активные исследования проводятся лишь в последние десятилетия [23]. В последние годы опыты проводятся в режимах, соответствующих топочным и контактным теплообменным камерам. Отметим, что данные эффекты в определенной степени могут иметь место и в распылительных камерах при интенсивных режимах теплового воздействия, в частности высокотемпературных продуктов сгорания и инфракрасного излучения.

Для описания фазовых превращений жидкостей используются различные подходы и модели, которые условно разделяют на две группы "диффузионные" и "кинетические" по доминирующему фактору влияния на интенсивность отрыва и последующего переноса молекул от поверхности раздела сред. При моделировании процессов испарения и конденсации часто используется закон Герца—Кнудсена [24, 25].

Наиболее исследованы процессы конвективного тепломассообмена капель. Вместе с тем потребность широкого применения данных теплотехнологий вызывают развитие исследований и поиск новых методов повышения энергетической эффективности.

Целью работы является исследование влияния комбинированного конвективно-радиационного воздействия и встречных потоков теплоносителя на интенсивность тепломассообменных процессов при распылительной сушке.

ТЕОРЕТИЧЕСКИЙ АНАЛИЗ

Математическая модель. Рассматривается цилиндроконическая сушильная камера (рис. 1).

Первичный поток теплоносителя (нагретый воздух) подается через газораспределительное устройство, установленное в верхней части камеры. Здесь же осуществляется ввод диспергированной жидкости. Вторичный поток теплоносителя вводится в нижней части камеры встречно верхнему потоку. В результате создается встречное вертикальное взаимодействие потоков. Вывод газовой фазы (теплоносителя) и высушенных частиц производится через нижнее сечение конической части аппарата.

Рассматривается движение монодисперсных частиц в несущей двухкомпонентной газовой фазе, состоящей из смеси сухого воздуха и водяного пара. Применяется подход динамики взаимопроникающих континуумов. Поскольку в данных аппаратах объемная концентрация частиц мала ($\epsilon_2 \ll 1$), пренебрегается взаимодействием и столк-

новением частиц между собой. Пренебрегается также теплообменом и трением на стенках камеры. Задача решается в двухмерной постановке для стационарного процесса в цилиндрической системе координат.

Дифференциальные уравнения сохранения масс фаз, импульса и энергии имеют следующий вид [5, 6].

Уравнения сохранения масс фаз

$$\nabla \cdot (\rho_1 \mathbf{v}_1) = nj, \tag{1}$$

$$\nabla \cdot (\rho_2 \mathbf{v}_2) = -nj,\tag{2}$$

сохранения числа дисперсных частиц

$$\nabla \cdot (n\mathbf{v}_2) = 0, \tag{3}$$

сохранения массы водяных паров

$$\nabla \cdot (\rho_3 \mathbf{v}_1) = nj. \tag{4}$$

Приведенные плотности фаз ρ_1 и ρ_2 , характеризующие массы фаз в единице объема смеси (дисперсная фаза + несущая фаза)

$$\varepsilon_1 + \varepsilon_2 = 1, \quad \varepsilon_2 = \pi d^3 n / 6, \quad \rho_1^0 = \rho_1 / (1 - \varepsilon_2),
\rho_2^0 = \rho_2 / \varepsilon_2, \quad \rho_3^0 = \rho_3 / \varepsilon_1.$$

Уравнения импульса фаз

$$\rho_{1}(\mathbf{v}_{1} \cdot \nabla) \mathbf{v}_{1} =$$

$$= \left(1 - \frac{3}{2} \varepsilon_{2}\right) \left[-\nabla p - n\mathbf{f} + nj(\mathbf{v}_{2} - \mathbf{v}_{1})\right],$$
(5)

$$\rho_{2}(\mathbf{v}_{2} \cdot \nabla)\mathbf{v}_{2} =$$

$$= \left(1 - \frac{3}{2}\varepsilon_{2}\right)n\mathbf{f} + \frac{3}{2}\varepsilon_{2}nj(\mathbf{v}_{2} - \mathbf{v}_{1}) + \rho_{2}\mathbf{g}.$$
(6)

Уравнения сохранения энергии фаз

$$\nabla \cdot [(E_1 + p)\mathbf{v}_1] = -nq, \tag{7}$$

$$\nabla \cdot (E_2 \mathbf{v}_2) = nq - jr_{\text{rr}}. \tag{8}$$

Полная энергия фаз (сумма внутренней и кинетической энергии), поток теплоты к дисперсной фазе и уравнение состояния

$$E_{i} = \rho_{i} \left(e_{i} + \frac{|\mathbf{v}_{i}^{2}|}{2} \right), \quad \text{где} \quad i = 1, 2.$$

$$e_{1} = c_{1} T_{1}, \quad e_{2} = c_{2} T_{2}, \quad q = \pi d \lambda_{1} \text{Nu} \left(T_{1} - T_{2R} \right),$$

$$p = \rho_{1}^{0} R^{*} T_{1} / M_{1}. \tag{9}$$

Предполагается условие равновесия фаз на межфазной границе $T_{2R} = T_s(p)$. При этом пренебрегается тепловым сопротивлением внутри частиц $T_2 = T_{2R}$. Следует отметить, что при решении приведенных уравнений вводились диффузионные члены.

Интенсивность массообмена от твердой фазы к газовой, приходящаяся на одну дисперсную частицу:

$$j = \pi dD \operatorname{Sh}(\rho_{3s}^{0} - \rho_{3}^{0}), \quad \rho_{3s}^{0} = p_{s} M_{3} / (R^{*}T_{2}).$$
 (10)

Зависимость давления p_s насыщения водяных паров от температуры определялась по формуле Антуана.

Капли жидкости (раствора или суспензии) на входе в камеру имеют начальный диаметр d_0 . В начале процесса испарение влаги сопровождается уменьшением диаметра частиц до некоторого постоянного значения d_* , а затем остаточная влага испаряется при постоянном размере частиц. Если текущий диаметр частицы больше d_* , то диаметр частицы находится из выражения

$$d = \left(d_0^3 - \frac{6\Delta V_{\kappa}}{\pi}\right)^{1/3}$$
, где $\Delta V_{\kappa} = \frac{1}{\rho_{\kappa}} \left(m_0 - \frac{\rho_2}{n}\right)$. (11)

Если $d \le d_*$, то $d = d_*$.

Сила межфазного трения, действующая на одну частицу, равна

$$\mathbf{f} = \frac{1}{8} \xi \pi d^2 \rho_1^0 |\mathbf{v}_1 - \mathbf{v}_2| (\mathbf{v}_1 - \mathbf{v}_2). \tag{12}$$

Коэффициент гидродинамического сопротивления капель определяется по зависимости Брауэра

$$\xi = \frac{24}{\text{Re}} + \frac{4}{\sqrt{\text{Re}}} + 0.4,\tag{13}$$

где Re =
$$d |\mathbf{v}_1 - \mathbf{v}_2| / v$$
, $|\mathbf{v}_1 - \mathbf{v}_2| = \sqrt{(v_1 - v_2)^2 + (u_1 - u_2)^2 + (w_1 - w_2)^2}$.

Коэффициент теплоотдачи определяется по корреляции Фреслинга $\mathrm{Nu}=2+0.55\,\mathrm{Re}^{0.5}\,\mathrm{Pr}^{0.33}$. По аналогичному выражению определялся коэффициент массоотдачи. Влажность частиц определяется как $W_2=(m_2-m_\mathrm{c})/m_2$, где $m_2=\rho_2/n$. Влагосодержание частиц, определяемое на массу сухого вещества $U_2=W_2/(1-W_2)$.

Коэффициент диффузии водяных паров в воздухе $D_{\Pi}=D_0\left(p_0/p\right)\left(T/T_0\right)^{1.8}$, где $D_0=22\times10^{-6}$ м²/с, $p_0=101325$ Па, $T_0=273\,$ K.

Количество теплоты, выделяемое в частицах материала при воздействии инфракрасного излучения определяется на основе закона Бугера

$$I = \varepsilon_2 q_0 k \exp(kz) \quad \text{при} \quad z \le 0, \tag{14}$$

где k — показатель поглощения, $k = 0.75\pi d^2 n$.

Удельная изобарная теплоемкость несущей фазы $c_1=(c_4+c_3U_1)/(U_1+1)$, где $U_1=\rho_3^0/\left(\rho_1^0-\rho_3^0\right)$.

Граничные условия на оси симметрии и стенках аппарата

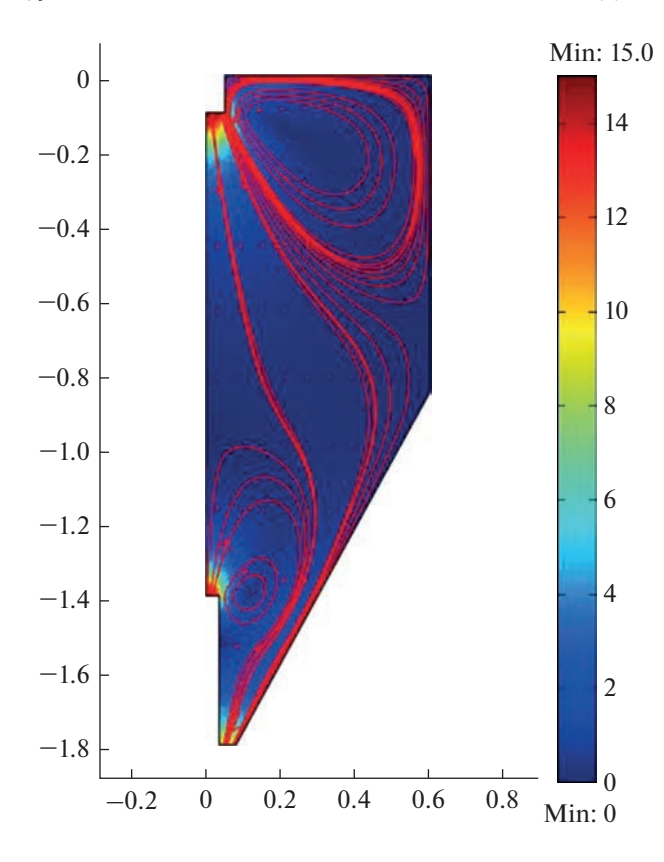


Рис. 2. Поле скоростей (поверхность), линии тока и векторы скорости газовой фазы.

$$\begin{aligned} \mathbf{n} \cdot \mathbf{v}_1 &= 0, & \mathbf{n} \cdot \mathbf{v}_2 &= 0, & \mathbf{n} \cdot \nabla \rho_2 &= 0, \\ \mathbf{n} \cdot \nabla \rho_3 &= 0, & \mathbf{n} \cdot \nabla n &= 0, & \mathbf{n} \cdot \nabla T_1 &= 0, \\ & \mathbf{n} \cdot \nabla T_2 &= 0, & \end{aligned}$$

где **n** — направление внешней нормали; на входе в аппарат (граница 2 и 3) $T_1 = T_{10}$, $T_2 = T_{20}$, $\rho_1 = \rho_{10}$, $\rho_2 = \rho_{20}$, $\mathbf{v}_1 = \mathbf{v}_{10}$, $\mathbf{v}_2 = \mathbf{v}_{20}$, а на выходе (граница 5) $p = p_0$.

Основные геометрические размеры аппарата: диаметр цилиндрической части -1.2 м, ее высота -0.85 м; высота конической части -0.95 м; диаметр входного канала для подачи первичного (верхнего) потока теплоносителя -0.1 м, его высота от перекрытия камеры -0.1 м; диаметр входного отверстия канала для подачи вторичного (нижнего) потока теплоносителя -0.07 м, а его высота от конического основания -0.4 м; диаметр выходного отверстия нижнего основания конуса -0.16 м.

Основные параметры: $v_{1\text{B}} = -15 \text{ M/c}$; $v_{1\text{H}} = 15 \text{ M/c}$; $T_{10} = 423 \text{ K}$; $T_{20} = 293 \text{ K}$; $p_0 = 1 \times 10^5 \text{ Па}$; $G_2 = 16 \text{ кг/ч}$; $d_0 = 0.0002 \text{ M}$; $c_3 = 1883 \text{ Дж/(кг K)}$; $c_4 = 1024 \text{ Дж/(кг K)}$; $R^* = 8.314 \text{ Дж/(моль K)}$; $r_{\text{II}} = 2333 \text{ кДж/кг}$; $W_0 = 0.6 \text{ кг/кг}$; $\rho_{20} = 900 \text{ кг/м}^3$; $v_{2\text{B}} = G_2/(\rho_{20}S_{\text{B}})$; $\rho_{2\text{B}} = G_2/(S_{\text{B}}|v_{1\text{B}}|)$; $\rho_{1\text{B}} = p_0/(M_1T_{10})$; $T_{\text{M3I}} = 973-1073 \text{ K}$;

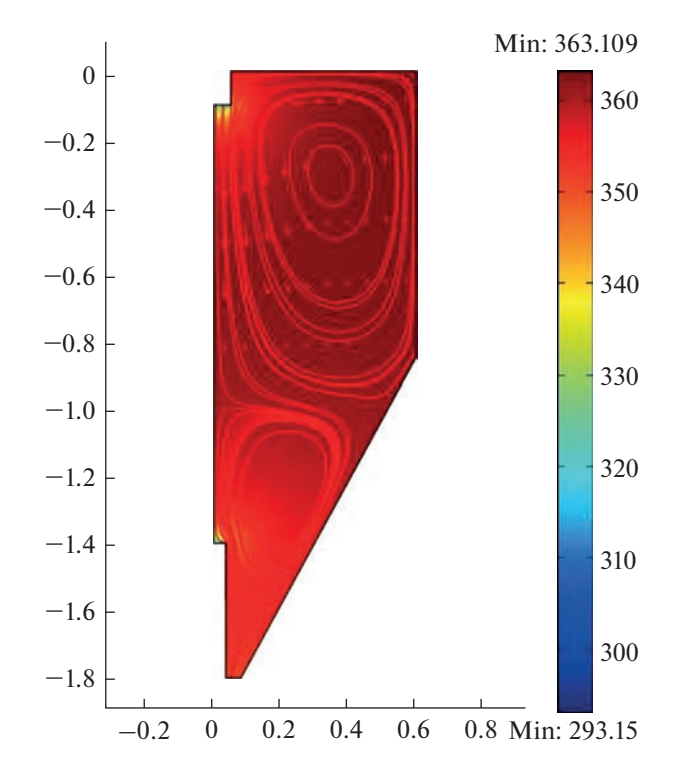


Рис. 3. Поле температур (поверхность), линии тока и векторы скорости твердой фазы.

 $S_{\rm B} = 7.85 \times 10^{-3} \, {\rm M}^2$. Для стационарной двухмерной задачи получено численное решение вышеприведенной системы уравнений с использованием программы "Comsol".

Обсуждение результатов численного моделирования. Установлены зависимости гидродинамических и тепломассообменных параметров для различных режимов работы распылительной камеры. В частности, из анализа линий тока газовой и дисперсной фаз при встречных потоках теплоносителя и инфракрасном воздействии видно, что в периферийной зоне камере образуется две области завихренности газового и дисперсного потоков (рис. 2 и 3).

Одна имеет место в верхней части камеры, а вторая — в нижней ее части. При соударении потоков теплоносителя происходит их растекание в периферийную зону с образованием вихрей, которые вызывают подобные образования вихрей дисперсной фазы. Подобная картина движения фаз наблюдается и при отсутствии инфракрасного облучения. В режиме прямоточного ввода фаз, т.е. отсутствии нижнего подвода теплоносителя, завихренности газовой и дисперсной фаз наблюдаются только в верхней области камеры. Следует отметить, что образование вихрей в верхней области камеры вызывает забрасывание влажных дисперсных частиц на перекрытие и возможно образование отложений при дегидратации адгезион-

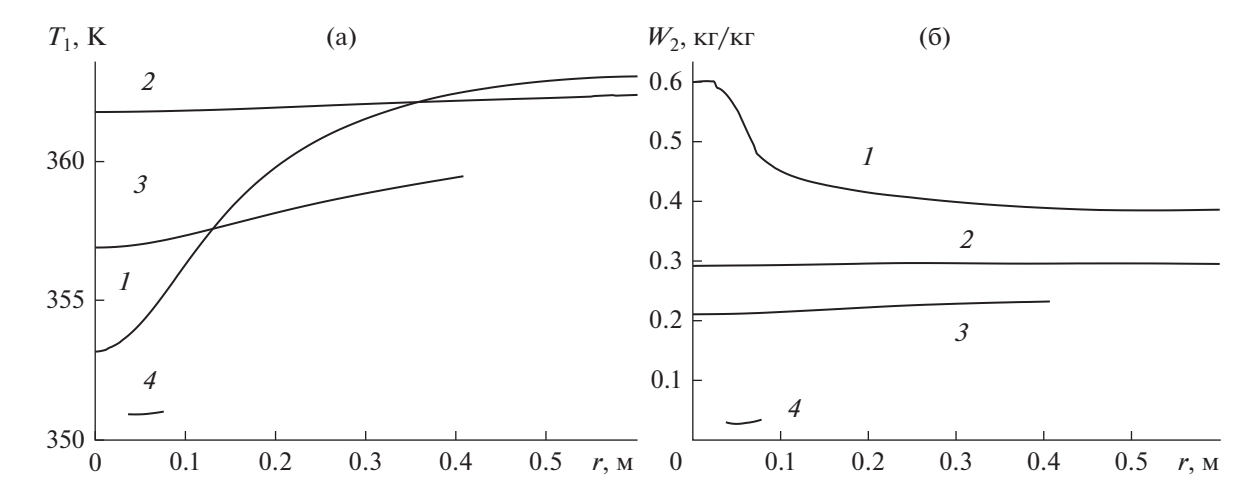


Рис. 4. Зависимости температуры газа (а) и влажности частиц (б) в различных сечениях камеры: a-1-z=0.2 м; 2-0.77; 3-1.2; 4-1.8; 6-1-z=0.1 м; 2-0.6; 3-1.2; 4-1.8.

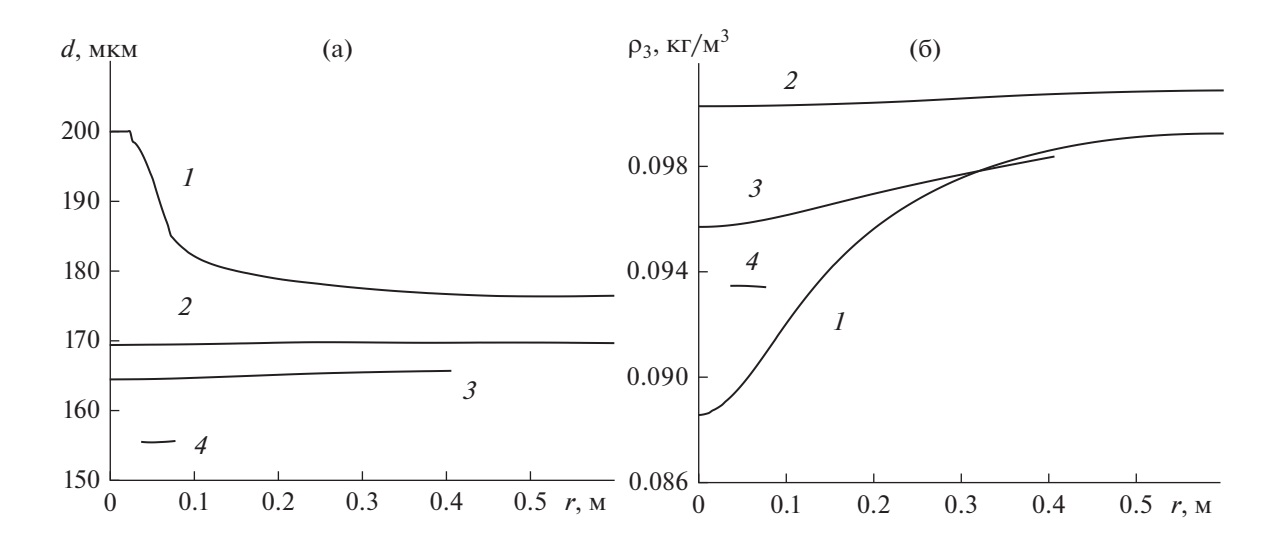


Рис. 5. Зависимости диаметра частиц (а) и концентрации водяных паров (б) в различных сечениях камеры при конвективно-радиационном энергоподводе: a-1-z=0.1 м; 2-0.6; 3-1.2; 4-1.8; 6-1-z=0.2 м; 2-0.6; 3-1.2; 4-1.8.

ных материалов. Поэтому следует стремиться к предотвращению данного явления.

Температура несущей фазы на границах ввода соответствует заданным значениям. При этом в области верхнего ввода теплоносителя, где также подается жидкость, т.е. в зоне факела распыленной жидкости происходит значительное снижение температуры теплоносителя (кривая 1, рис. 4).

В периферийной зоне и нижерасположенных сечениях камеры температура газовой фазы возрастает, что обусловлено воздействием ИК-излучения. При приближении к выходу теплоносителя его температура падает. Расчетные зависимости по уровню температур согласуются с полученными опытными данными. Температура частиц вне области факела распыла выше температуры мокрого термометра, что обусловлено влиянием

ИК-излучения. В области выхода из камеры температуры частиц и газа сближаются.

Влажность частиц максимальна в месте их ввода и далее снижается по высоте камеры, причем профиль влажности по радиусу камеры выравнивается (рис. 4б). Подобный характер имеют зависимости диаметра частиц, приведенные на рис. 5а.

Концентрация водяных паров минимальна в области ввода теплоносителя и жидкости. Затем профили концентрации выравнивается по радиусу камеры и значения концентрации возрастают, а затем снижаются по мере приближения к выходному сечению (рис. 5б). При чисто конвективном энергоподводе профиль концентрации водяных паров в верхнем сечении камеры имеет подобный вид, однако значения концентрации заметно ниже (рис. 6а). В более нижних сечениях

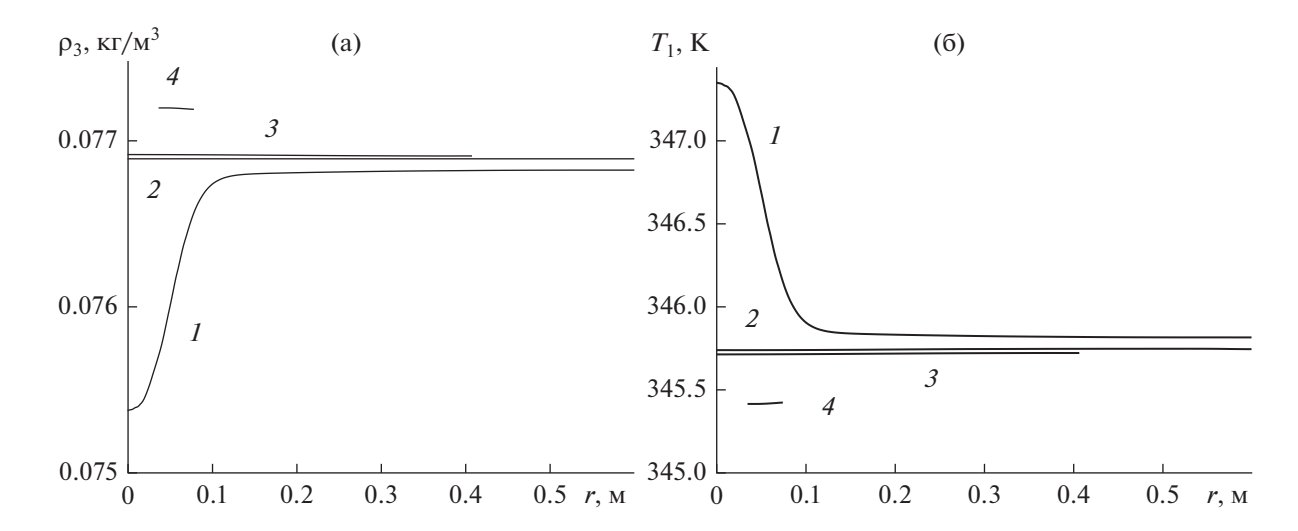


Рис. 6. Зависимости концентрации водяных паров (а) и температуры газовой фазы (б) в различных сечениях камеры при конвективном энергоподводе: a-I-z=0.15 м; 2-0.77; 3-1.2; 4-1.8.

профили выравниваются, причем в отличие от конвективно-радиационного энергоподвода значения концентрации возрастают при приближении к выходу теплоносителя из камеры.

Как и следовало ожидать, температура теплоносителя при конвективном энергоподводе наиболее высокая в области его ввода, причем она быстро снижается по вертикальной координате (рис. 6б). Температурный профиль выравнивается, а уровень температуры падает. Расчетная температура на выходе из камеры для данного режима составляет около 72°С и близка к опытным значениям, поддерживаемым на уровне 70°С. Сравнивая температурные поля для рассматриваемых режимов, отчетливо видно значительное влияние радиационного воздействия.

Следует отметить, что при конвективно-радиационном энергоподводе значительно выше производительность аппарата по влажному материалу $G_2 = 16$ кг/ч, а следовательно и по испаренной влаге, по сравнению с конвективным способом $G_2 = 7$ кг/ч.

ЭКСПЕРИМЕНТАЛЬНЫЕ ИССЛЕДОВАНИЯ

Выполнены экспериментальные исследования параметров распылительной установки при конвективном и конвективно-радиационном энергоподводах. Схема экспериментальной установки приведена на рис. 7.

Она работает следующим образом. В сушильную камеру 1 распылителем 5 диспергируется высушиваемый раствор, который подается из емкости 7. Теплоноситель вводят в камеру двумя потоками: сверху на факел распыла через газораспределительное устройство 2 и снизу по оси камеры через канал 13, который снабжен завихрителем 14. Ввод

нижнего теплоносителя создает встречное взаимодействие вертикальных потоков, что активизирует гидродинамический режим и увеличивает время пребывания частиц в наиболее интенсивной зоне инфракрасного излучения. В качестве теплоносителя используется воздух, который нагревается в электрических калориферах 3, 4 и 15.

На факел жидкого материала воздействуют инфракрасным излучением с помощью излучателей 6. В специальном устройстве закреплено 9 инфракрасных керамических излучателей марки ИКН-101 мощностью 1 кВт, каждый из которых установлен в собственном корпусе с направляющим отражателем. Температура поверхности излучателей достигает 1073 К. Конструкция обеспечивает возможность изменения угла наклона излучателей к вертикальной оси. Теплота к распыленным частицам подводится конвекцией от теплоносителя и инфракрасным излучением, которое фокусируется на область факела излучателями 6, расположенными под углом к вертикальной оси. Высушенные частицы материала вместе с отработанным теплоносителем поступают в циклон 9. в котором сепарируются и попадают в сборник 11 для сухого продукта. Для диспергирования жидкостей используются двух- и трехканальные пневматические форсунки 5, последние позволяют вводить в факел распыла дисперсный материал — наполнитель, который подается дозатором 8. Пневматичекая форсунка 5 расположена по оси инфракрасного устройства в верхней его части. При этом факел распыла жидкости находится в зоне максимального воздействия излучателей.

При необходимости стенки циклона охлаждаются водой, подаваемой в рубашку 10, для предотвращения налипания термопластичных

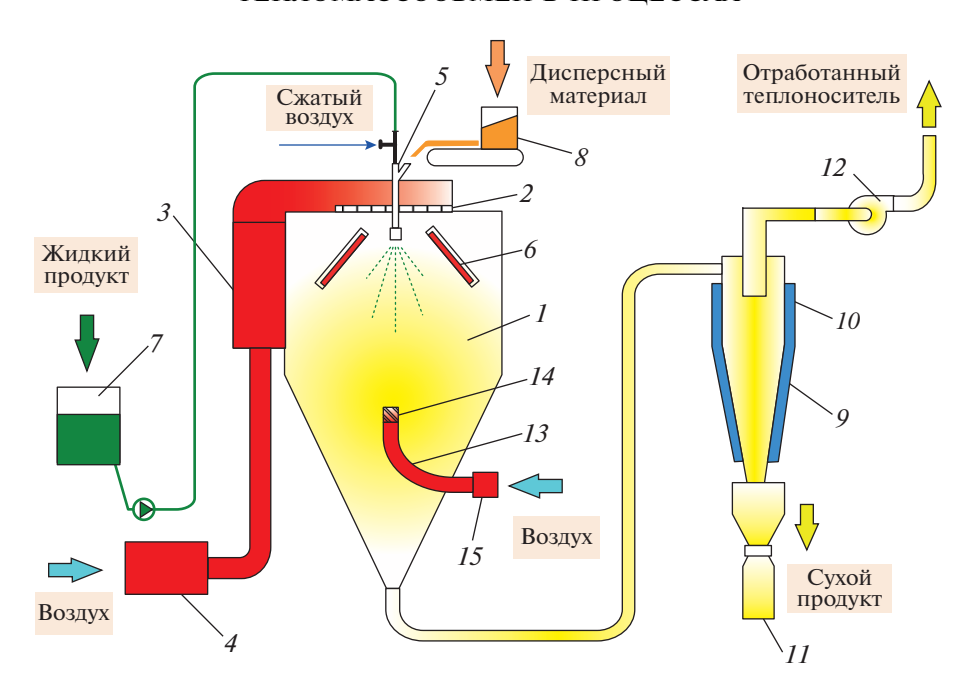


Рис. 7. Схема распылительной установки с конвективно-радиационным подводом теплоты и встречными потоками теплоносителя.

материалов. Теплоноситель подается в установку вентилятором 12.

Таким образом, в установке реализуется новый способ распылительной сушки, сущность которого состоит в комбинированном энерговоздействии на капли распыляемой жидкости конвекцией в условиях встречных потоков теплоносителя и инфракрасным излучением, фокусируемым на область факела с наибольшей концентрацией частиц [14, 15].

Для двух режимов работы установки получены экспериментальные температурные зависимости в различных сечениях камеры (рис. 8). Измерения температуры среды проводились хромель-копелевой термопарой. Последняя находилась в чехле цилиндрической формы, который служил экраном и предотвращал влияние инфракрасного излучения на показание термопары. При этом чехол подключался к вакуумному насосу и термопара оказывалась в потоке газа, температура которого и регистрировалась. Измерения проводились при температуре теплоносителя на входе в камеру

130°С и выходе — 70°С и установившемся режиме работы установки. Остальные параметры соответствовали данным в табл. 1 и 2. На рис. 8 видно, что температура несущей фазы выше во всех сечениях камеры при конвективно-радиационном энергоподводе по сравнению с чисто конвективным. Наибольшая разность температур наблюдается в верхних сечениях камеры. Температура газа при инфракрасном воздействии близка к 100°С в зоне ввода частиц жидкости, т.е. факеле распыла, и значительно ниже при конвективном подводе теплоты.

Определены параметры экспериментальной установки при сушке водного раствора NaCl с концентрацией 20% при конвективном и конвективно-радиационном энергоподводах. Результаты представлены в табл. 1 и 2. Анализ полученных данных свидетельствует о возможности значительного увеличения производительности установки по испаренной влаге при конвективно-радиационном энергоподводе по сравнению с чисто конвективным способом.

Таблица 1. Параметры распылительной установки со встречными потоками и конвективно-радиационным энергоподводом при сушке раствора NaCl (угол наклона излучателей к вертикали 30 град)

№ п/п	<i>t</i> ₁ , °C	<i>t</i> ₂ , °C	<i>t</i> ₀ , °C	<i>p</i> , МПа	<i>V</i> , м ³ /ч	<i>Q</i> _к , кВт	$Q_{\scriptscriptstyle m ИЗЛ}$, к B т	$G_2,$ кг/ч	<i>W</i> , кг/ч	$q_{ m y_{ m J}},$ кДж/кг	A_V , KΓ/(M ³ Ч)
1	110	70	20	0.3	210	6.4	8.6	12.3	9.8	5510	10.2
2	130	70	20	0.3	210	7.8	8.5	15.7	12.6	4657	13.1
3	150	70	20	0.3	210	9.2	8.8	17.9	14.3	4531	14.9

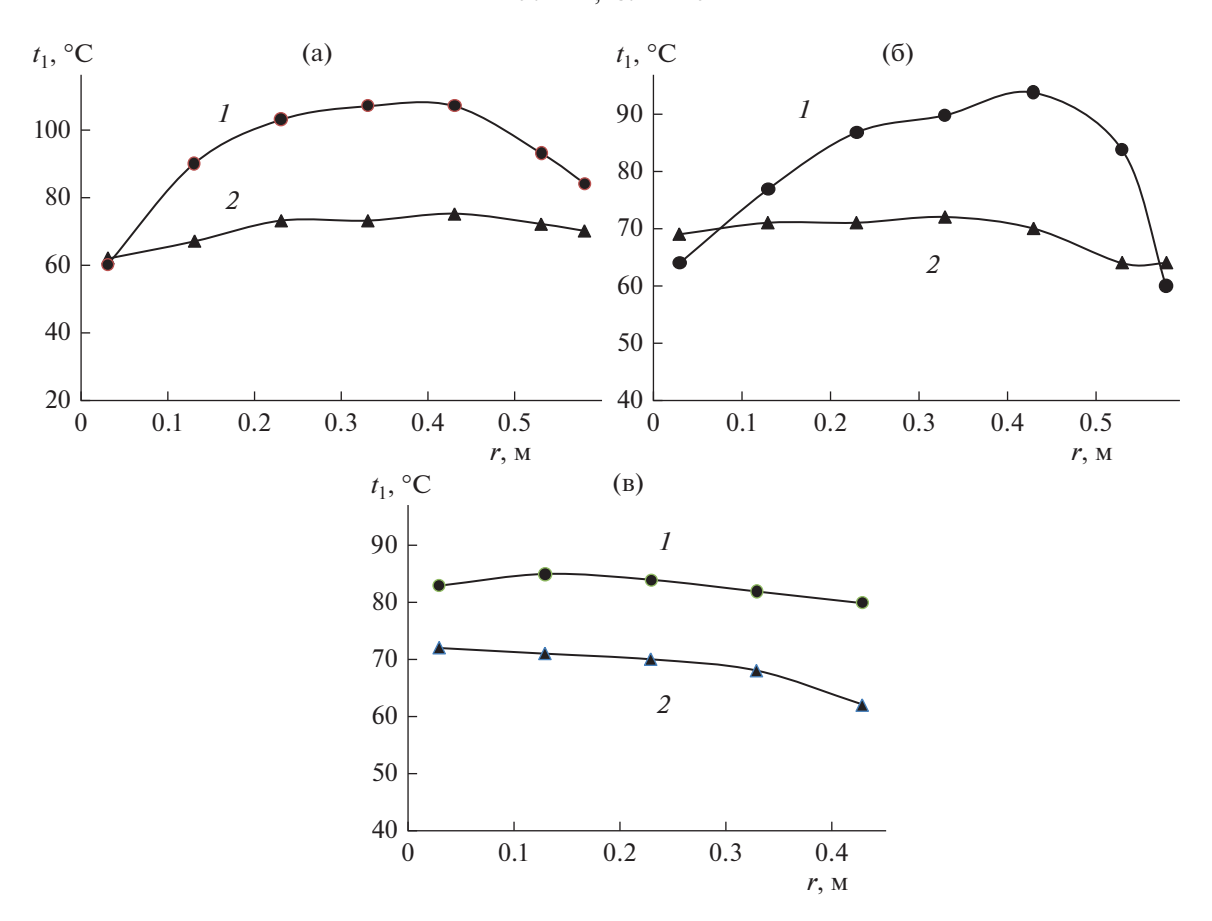


Рис. 8. Температурные зависимости по сечению камеры: a-z=520 мм; b-z=770 мм; b-z=1070 мм. 1- конвективно-радиационный энергоподвод со встречными потоками теплоносителя; 2- конвективный подвод теплоты со встречными потоками (без инфракрасного излучения).

Таблица 2. Параметры распылительной установки со встречными потоками при конвективном энергоподводе при сушке раствора NaCl

№ п/п	<i>t</i> ₁ , °C	<i>t</i> ₂ , °C	<i>t</i> ₀ , °C	<i>p</i> , МПа	<i>V</i> , м ³ /ч	Q_{κ} , к B т	$Q_{\scriptscriptstyle m ИЗЛ}, \ m \kappa B au$	$G_2,$ кг/ч	<i>W</i> , кг/ч	$q_{ m y_{ m J}},$ кДж/кг	A_V , KΓ/(M^3 Ч)
1	110	70	19	0,3	210	6.4	0	2.78	2.2	10470	2.3
2	130	70	19	0,3	210	7.8	0	5.02	4	7020	4.2
3	150	70	19	0,3	210	9.2	0	7.3	5.8	5710	6.0

При температуре на входе в камеру 130°С и выходе из нее 70°С и установленной мощности излучателей 9 кВт производительность по испаренной влаге увеличивается в примерно в три раза. При этом очень важно, что удельный расход теплоты уменьшается примерно в полтора раза, а влагонапряженность объема камеры возрастает в три раза. Видно повышение энергоэффективности работы установки, которое достигается за счет интенсификации процессов тепломассообмена и сокращения удельного расхода теплоносителя.

ЗАКЛЮЧЕНИЕ

Предложенная модель позволяет прогнозировать структуру течения фаз и тепломассообмен в распылительных аппаратах, выявлять возникновение обратных течений и определять температуру и влагосодержание теплоносителя и частиц.

На основе теоретических и экспериментальных исследований показана возможность увеличения производительности установки по испаренной влаге и влагонапряженности камеры при снижении удельного расхода теплоты за счет воздействия инфракрасного излучения на область фа-

1

кела распыленной жидкости и создания режима встречных вертикальных потоков теплоносителя. Отметим, что способ конвективно-радиационной сушки может найти применение при дегидратации термостойких материалов, требующих интенсивной тепловой обработки. Вместе с тем следует иметь в виду, что эффективность данного способа зависит от множества факторов, в частности от интенсивности и фокусировки инфракрасного излучения, температуры теплоносителя, концентрации частиц в потоке и других параметров.

Работа выполнена при финансовой поддержке Белорусского республиканского фонда фундаментальных исследований проект № Т22-008.

ОБОЗНАЧЕНИЯ

A_V	влагонапряженность камеры, кг/ $(м^3 ч)$
c	теплоемкость, Дж/(кг К)
d	диаметр частиц, м
D	коэффициент диффузии, ${ m M}^2/{ m c}$
$\boldsymbol{\mathit{E}}$	полная энергия, Дж/кг
e	внутренняя энергия, Дж/кг
g	ускорение свободного падения, ${\rm M}^2/{\rm c}$
G_2	расход жидкости, кг/ч
j	интенсивность фазового превращения, кг/с
k	показатель поглощения излучения
m_0, m_2	начальная и текущая масса капли (частицы), кг
M	молекулярная масса, кг/моль
n	число частиц в единице объема
p	давление, Па
q	поток теплоты, Вт
q_0	плотность падающего излучения при $z=0$, $\mathrm{Br/m^2}$
$q_{ m y_{ m I}}$	удельный расход теплоты, кДж/кг влаги
$Q_{\scriptscriptstyle m K}$, $Q_{{\scriptscriptstyle m M}3{ m J}}$	мощность калориферов и инфракрасных излучателей, кВт
<i>r</i> , <i>z</i>	координаты, м
r_{Π}	теплота фазового превращения, Дж/кг
R	радиус частицы, м
R*	универсальная газовая постоянная, Дж/(моль K)
$S_{\scriptscriptstyle m B}$	площадь сечения верхнего ввода теплоносителя, ${\bf m}^2$
<i>T</i> , <i>t</i>	температура, К и °С
V V	соответственно скорость газа на границе верх-
V_{1B}, V_{1H}	него и нижнего вводов теплоносителя, м/с
v ,w	векторы скорости несущей и дисперсной фаз, м/с
$\boldsymbol{\mathit{U}}$	влагосодержание (на сухую массу), кг/кг

$V_{\rm K}$ W	объем капли, м ³ /ч производительность установки по испаренной влаге, кг/ч
W_2	влажность частиц (на общую массу), кг/кг
ε	объемная концентрация частиц, ${\rm M}^3$ твердой фазы/ ${\rm M}^3$ смеси
λ	теплопроводность, Вт/(м К)
μ	динамический коэффициент вязкости, Па с
ν	кинематический коэффициент вязкости, м ² /с
ρ_i	приведенная плотность фазы, определяющая массу фазы в единице объема смеси (твердая фаза+несущая фаза), $\kappa \Gamma/M^3$
$ ho_i^0$	плотность фазы при $n = 1, 2$, плотность компонента фазы, определяющая массу компонента в единице объема несущей фазы, при $n \neq 1, 2$, кг/м ³
t	время, с
Re, Nu, Sh	числа Рейнольдса, Нуссельта и Шервуда

НИЖНИЕ ИНДЕКСЫ

_	
2	дисперсная фаза
3	водяные пары
4	сухой воздух
0	начальное (постоянное) значение
В, Н	соответственно граница верхнего и нижнего
	ввода теплоносителя
Ж	влага (вода)
изл	инфракрасное излучение
c	сухой материал
R	поверхность капли
S	насыщенное состояние

ВЕРХНИЕ ИНДЕКСЫ

0 истинные значения

несущая фаза

СПИСОК ЛИТЕРАТУРЫ

- 1. Долинский А.А., Малецкая К.Д. Распылительная сушка: в 2-х томах. Т. 1. Теплофизические основы. Методы интенсификации и энергосбережения. Киев: Академпериодика, 2011.
- 2. Handbook of Industrial Drying. Fourth Edition. Edited by Arun S. Mujumdar. CRC Press. 2014.
- 3. *Тутова Э.Г., Куц П.С.* Сушка продуктов микробиологического производства. М.: Агропромиздат, 1987.

- 4. *Kudra T., Mujumdar A.S.* Advanced Drying Technologies. New York. Marcel Dekker, Inc. 2002.
- 5. *Акулич П.В., Драгун В.Л., Куц П.С.* Технологии и техника сушки и термообработки материалов. Минск: Белорусская наука, 2006.
- 6. Акулич П.В., Акулич А.В. Конвективные сушильные установки: методы и примеры расчета. Минск: Вышэйшая школа, 2019.
- Modern Drying Technology. V. 5: Process Intensification / E. Tsotsas and A. S. Mujumdar (Eds.). Wiley-VCH Verlag GmbH & Co. KgaA: Weinheim, Germany. 2014.
- 8. Wu Z., Yue L., Li Z. et al. Pulse Combustion Spray Drying of Egg White: Energy Efficiency and Product Quality. Food Bioprocess Technology. 2015. № 8. P. 148.
- Richard Wisniewski. Spray Drying Technology Review / NASA Ames Research Center, Moffett Field, CA 9403 // 45th International Conference on Environmental Systems 12–16 July 2015, Bellevue, Washington. P. 1.
- 10. Феклунова Ю.С. Разработка и научное обоснование способа распылительной сушки пюре из тыквы при конвективно-радиационном энергоподводе. Автореф. На соискан. Уч. Степени канд. Техн. Наук по спец. 05.18.12. ФГБОУ ВПО "Астраханский государственный технический университет". Астрахань. 2015.
- 11. *Акулич П.В.* Способ сушки жидких материалов. Патент № 18467 Республики Беларусь на изобретение // Официальный бюллетень. 2013. № 2. С. 23.
- 12. *Акулич П.В., Бородуля В.А., Слижук Д.С.* Методы повышения эффективности процессов распылительной сушки // Энергоэффективность. 2018. № 4. С. 28
- 13. *Акулич П.В., Слижук Д.С.* Термогидродинамические процессы при распылительной сушке в условиях конвективно-радиационного энергоподвода // Теоретические основы химической технологии. 2021. Т. 55. № 1. С. 34—45.
- 14. *Акулич П.В.* Тепломассообмен капли раствора при комбинированном энергетическом воздействии и углублении зоны испарения // Инженерно-физический журнал. 2016. Т. 89. № 3. С. 527.
- 15. *Акулич П.В.* Моделирование тепломассообмена капель при сушке перегретой жидкости в условиях

- комбинированного энерговоздействия // Инженерно-физический журн. 2019. Т. 92. № 2. С. 404.
- Prakash S., Sirignano W.A. Theory of convective droplet vaporization with unsteady heat transfer in the circulating liquid phase // Int. J. Heat Mass Transfer. 1980. V. 23. P. 253.
- 17. *Козырев А.В., Ситников А.Г.* Испарение сферической капли в газе среднего давления // Успехи физических наук. Т. 171. № 7. 2001. С. 765.
- 18. *Терехов В.И., Терехов В.В., Шимкин Н.Е., Би К.Ч.* Экспериментальное и численное исследования нестационарного испарения капель жидкости // Инженерно-физический журнал. 2010. Т. 83. № 5. С. 829.
- 19. Varghese S., Gangamma S. Evaporation of Water Droplets by Radiation: Effect of Absorbing Inclusions // Aerosol and Air Quality Research. 2007. V. 7. №. 1. P. 95.
- 20. *Mezhericher M., Levy A., Borde I.* The Influence of Thermal Radiation on Drying of Single Droplet/Wet Particle // Drying Technology. 2008. V. 26. Issue 1. P. 78.
- 21. Архипов В.А., Басалаев С.А., Золоторев Н.Н., Кузнецов В.Т., Перфильева К.Г., Усанина А.С. Влияние механизма теплообмена на динамику испарения одиночной капли жидкости / Тезисы докладов и сообщений XVI Минского международного форума по тепло- и массообмену, 16—19 мая 2022 г. // Научное электронное издание. Минск. 2021. С. 713. https://www.itmo.by/conferences/abstracts/?ELE
 - https://www.itmo.by/conferences/abstracts/?ELE-MENT_ID = 20225
- 22. Бочкарева Е.М., Лей М.К., Терехов В.В., Терехов В.И. Особенности методики экспериментального исследования процесса испарения подвешенных капель жидкости // Инженерно-физический журн. 2019. Т. 92. № 5. С. 2208.
- 23. *Sazhin S.S.*, *Rybdylova O.*, *Crua C.*, *Heikal M.*, *Ismael M.A.*, *Nissar Z.*, *Aziz A.R.B.A*. A simple model for puffing/micro-explosions in water-fuel emulsion droplets // Int. J. Heat Mass Transf. 2019. V. 131. P. 815.
- 24. Войтков И.С., Волков Р.С., Кузнецов Г.В., Стрижак П.А. Высокотемпературное испарение капель воды в газовой среде // Журн. технической физики. 2017. Т. 87. Вып. 12. С. 1911.
- 25. *Терехов В.И., Пахомов М.А.* Тепломассоперенос и гидродинамика в газокапельных потоках. Новосибирск: Изд-во НГТУ, 2009.